

37 Documents

Publication numbers	Title	Current assignees
BR102020011867 A1		UNIVERSIDADE FEDERAL DO PARANA - UFPR, ...
BR102019021392 A1		INSTITUTO FEDERAL DO PARANÁ
BR102019021422 A1		INSTITUTO FEDERAL DO PARANÁ
BR102019021428 A1		INSTITUTO FEDERAL DO PARANÁ
BR202020007362 U1		INSTITUTO FEDERAL DO PARANÁ
BR102020004026 A1		INSTITUTO FEDERAL DO PARANÁ
BR102020006465 A1		INSTITUTO FEDERAL DO PARANÁ
BR102020005726 A1		INSTITUTO FEDERAL DO PARANÁ
BR102020004844 A1		INSTITUTO FEDERAL DO PARANÁ
BR102020000792 A1		UNIVERSIDADE TECNOLÓGICA FEDERAL DO PARANA - UTFPR, ...
BR202019027064 U1		INSTITUTO FEDERAL DO PARANÁ
BR102019026462 A1		CENTRO DE PRODUÇÃO E PESQUISA DE IMUNOBIOLOGICOS, ...
BR202019027308 U1		INSTITUTO FEDERAL DO PARANÁ
BR202019019237 U1		INSTITUTO FEDERAL DO PARANÁ
BR102019019292 A1		INSTITUTO FEDERAL DO PARANÁ
BR102019016581 A1		UNIVERSIDADE TECNOLÓGICA FEDERAL DO PARANA - UTFPR, ...
BR102019009286 A1		INSTITUTO FEDERAL DO PARANÁ
BR102019009358 A1		INSTITUTO FEDERAL DO PARANÁ

Publication numbers	Title	Current assignees
BR102019014328 A1		UNIVERSIDADE DE BRASILIA UNB, ...
BR102019009347 A1		INSTITUTO FEDERAL DO PARANÁ
BR102019009350 A1		INSTITUTO FEDERAL DO PARANÁ
BR102019009349 A1		INSTITUTO FEDERAL DO PARANÁ
BR102019009326 A1		INSTITUTO FEDERAL DO PARANÁ
BR102019009334 A1		INSTITUTO FEDERAL DO PARANÁ
BR102019009345 A1		INSTITUTO FEDERAL DO PARANÁ
BR102019009320 A1		INSTITUTO FEDERAL DO PARANÁ
BR102019009255 A1		INSTITUTO FEDERAL DO PARANÁ
BR102019004492 A1		UNIVERSIDADE ESTADUAL DO CENTRO OESTE - UNICENTRO, ...
BR102018075339 A1	Proteína recombinante, sequência de dna sintético, vetor de expressão, célula hospedeira, composição, kit para diagnóstico de rubéola, uso de pelo menos uma proteína recombinante, e, métodos para produzir uma proteína recombinante e para diagnóstico de rubéola	FUNDACAO OSWALDO CRUZ FIOCRUZ, ...
BR102017026492 A2	cerveja com substituição parcial do malte por resíduo da industrialização da fécula de mandioca (bagaço de mandioca)	INSTITUTO FEDERAL DO PARANA
BR102017026024 A2	sistema visualizador de veias para dispositivos móveis	INSTITUTO FEDERAL DO PARANA
BR102017021647 A2	um método de monitoramento para ativação de comunicação dispositivo-para-dispositivo (d2d) sem pareamento na ocorrência de falha ou inoperância na rede de comunicação	INSTITUTO FEDERAL DO PARANA
BR102017015488 A2	sistema de monitoramento e alarme para passagens de entrada e saída	INSTITUTO FEDERAL DO PARANA
BR102016025448 A2	método de ativação da superfície de materiais poliméricos	FUNDACAO OSWALDO CRUZ FIOCRUZ, ...
BR102012022034 B1	nanopartícula polimérica de finasterida, suspensão aquosa contendo a mesma, composição para tratamento de alopecia, processo de preparação de dita composição, e seu	BIOLAB SANUS FARMACEUTICA, ...

Publication numbers	Title	Current assignees
	uso	
BR102012022036 B1	nanopartícula polimérica de finasterida e minoxidil, processo de sua preparação, suspensão aquosa contendo a mesma, composição farmacêutica, e seu uso	BIOLAB SANUS FARMACEUTICA, ...
BR201106844 A2	Processo para produção de estruturas poliméricas com superfícies ativadas e estruturas poliméricas ativadas	FUNDACAO OSWALDO CRUZ FIOCRUZ, ...

BR102020011867 A1**Current assignees**

INSTITUTO FEDERAL DE EDUCAÇÃO CIÊNCIA E
TECNOLOGIA DO **PARANÁ**
UNIVERSIDADE **FEDERAL** DO **PARANA** - UFPR

Priority data including date

2020BR-0011867 2020-06-12

Family

[BR102020011867](#)

A1 2020-09-01



BR102019021392 A1**Current assignees****INSTITUTO FEDERAL DO PARANÁ*****Priority data including date**

2019BR-0021392 2019-10-11

Family[BR102019021392](#)

A1

2020-09-01



BR102019021422 A1**Current assignees****INSTITUTO FEDERAL DO PARANÁ*****Priority data including date**

2019BR-0021422 2019-10-11

Family[BR102019021422](#)

A1

2020-09-01



BR102019021428 A1**Current assignees****INSTITUTO FEDERAL DO PARANÁ*****Priority data including date**

2019BR-0021428 2019-10-11

Family[BR102019021428](#)

A1

2020-09-01



BR202020007362 U1**Current assignees****INSTITUTO FEDERAL DO PARANÁ*****Priority data including date**

2020BR-U007362 2020-04-14

Family[BR202020007362](#)

U1

2020-08-25



BR102020004026 A1**Current assignees****INSTITUTO FEDERAL DO PARANÁ*****Priority data including date**

2020BR-0004026 2020-02-28

Family[BR102020004026](#)

A1

2020-08-25



BR102020006465 A1**Current assignees****INSTITUTO FEDERAL DO PARANÁ*****Priority data including date**

2020BR-0006465 2020-03-31

Family[BR102020006465](#)

A1

2020-08-25



BR102020005726 A1**Current assignees****INSTITUTO FEDERAL DO PARANÁ*****Priority data including date**

2020BR-0005726 2020-03-23

Family[BR102020005726](#)

A1

2020-08-18



BR102020004844 A1**Current assignees****INSTITUTO FEDERAL DO PARANÁ*****Priority data including date**

2020BR-0004844 2020-03-11

Family[BR102020004844](#)

A1

2020-07-14



BR102020000792 A1**Current assignees**

INSTITUTO AGRONÔMICO DO **PARANÁ** IAPAR
UNIVERSIDADE TECNOLÓGICA **FEDERAL** DO **PARANA**
- UTFPR

Priority data including date

2020BR-0000792 2020-01-14

Family

[BR102020000792](#)

A1 2020-06-09



BR202019027064 U1**Current assignees****INSTITUTO FEDERAL DO PARANÁ****Priority data including date**

2019BR-U027064 2019-12-18

Family[BR202019027064](#)

U1

2020-04-14



BR102019026462 A1**Current assignees**

CENTRO DE PRODUÇÃO E PESQUISA DE
IMUNOBIOLOGICOS

INSTITUTO FEDERAL DO PARANÁ

UNIVERSIDADE **FEDERAL DO PARANA**

Priority data including date

2019BR-0026462 2019-12-12

Family

[BR102019026462](#)

A1 2020-03-24



BR202019027308 U1**Current assignees****INSTITUTO FEDERAL DO PARANÁ*****Priority data including date**

2019BR-U027308 2019-12-19

Family[BR202019027308](#)

U1 2020-03-10



BR202019019237 U1**Current assignees****INSTITUTO FEDERAL DO PARANÁ*****Priority data including date**

2019BR-U019237 2019-09-16

Family[BR202019019237](#)

U1

2020-02-18



BR102019019292 A1

Current assignees

INSTITUTO FEDERAL DO PARANÁ*

Priority data including date

2019BR-0019292 2019-09-17

Family

[BR102019019292](#)

A1

2020-02-04



BR102019016581 A1**Current assignees**

EMPRESA BRASILEIRA DE PESQUISA AGROPECUARIA
- EMBRAPA

INSTITUTO FEDERAL DE EDUCAÇÃO CIÊNCIA E
TECNOLOGIA DE SÃO PAULO

UNIVERSIDADE TECNOLÓGICA **FEDERAL DO PARANA**
- UTFPR

Priority data including date

2019BR-0016581 2019-08-09

Family

[BR102019016581](#)

A1 2019-11-26



BR102019009286 A1**Current assignees****INSTITUTO FEDERAL DO PARANÁ*****Priority data including date**

2019BR-0009286 2019-05-07

Family[BR102019009286](#)

A1

2019-09-24



BR102019009358 A1**Current assignees****INSTITUTO FEDERAL DO PARANÁ*****Priority data including date**

2019BR-0009358 2019-05-08

Family[BR102019009358](#)

A1

2019-09-24



BR102019014328 A1**Current assignees**

INSTITUTO FEDERAL DE EDUCAÇÃO CIÊNCIA E
TECNOLOGIA DE BRASÍLIA

INSTITUTO FEDERAL DE EDUCAÇÃO CIÊNCIA E
TECNOLOGIA GOIANO

UNIVERSIDADE DE BRASÍLIA UNB

UNIVERSIDADE **FEDERAL** DE GOIAS

UNIVERSIDADE TECNOLÓGICA **FEDERAL** DO **PARANÁ**

- UTFPR

Priority data including date

2019BR-0014328 2019-07-10

Family

[BR102019014328](#)

A1 2019-09-17



BR102019009347 A1**Current assignees****INSTITUTO FEDERAL DO PARANÁ*****Priority data including date**

2019BR-0009347 2019-05-08

Family[BR102019009347](#)

A1

2019-08-27



BR102019009350 A1**Current assignees****INSTITUTO FEDERAL DO PARANÁ*****Priority data including date**

2019BR-0009350 2019-05-08

Family[BR102019009350](#)

A1

2019-08-20



BR102019009349 A1**Current assignees****INSTITUTO FEDERAL DO PARANÁ*****Priority data including date**

2019BR-0009349 2019-05-08

Family[BR102019009349](#)

A1

2019-08-06



BR102019009326 A1**Current assignees****INSTITUTO FEDERAL DO PARANÁ*****Priority data including date**

2019BR-0009326 2019-05-07

Family[BR102019009326](#)

A1

2019-08-06



BR102019009334 A1**Current assignees****INSTITUTO FEDERAL DO PARANÁ*****Priority data including date**

2019BR-0009334 2019-05-07

Family[BR102019009334](#)

A1

2019-08-06



BR102019009345 A1**Current assignees****INSTITUTO FEDERAL DO PARANÁ*****Priority data including date**

2019BR-0009345 2019-05-08

Family[BR102019009345](#)

A1

2019-08-06



BR102019009320 A1**Current assignees****INSTITUTO FEDERAL DO PARANÁ*****Priority data including date**

2019BR-0009320 2019-05-07

Family[BR102019009320](#)

A1

2019-08-06



BR102019009255 A1**Current assignees****INSTITUTO FEDERAL DO PARANÁ*****Priority data including date**

2019BR-0009255 2019-05-07

Family[BR102019009255](#)

A1

2019-08-06






BR102019004492 A1**Current assignees**

INSTITUTO FEDERAL DO PARANÁ IFPR
UNIVERSIDADE ESTADUAL DO CENTRO OESTE -
UNICENTRO

Priority data including date

2019BR-0004492 2019-03-07

Family

[BR102019004492](#) A1 2019-04-02   

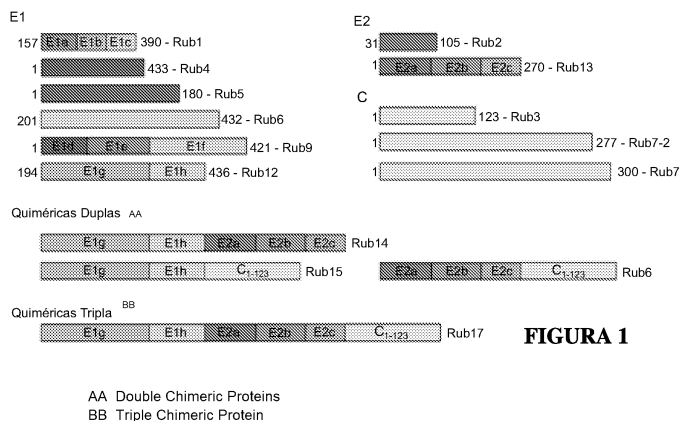
Proteína recombinante, sequência de dna sintético, vetor de expressão, célula hospedeira, composição, kit para diagnóstico de rubéola, uso de pelo menos uma proteína recombinante, e, métodos para produzir uma proteína recombinante e para diagnóstico de rubéola
BR102018075339 A1

<p>Current assignees FUNDAÇÃO OSWALDO CRUZ FIOCRUZ INSTITUTO DE BIOLOGIA MOLECULAR DO PARANA IBMP INSTITUTO DE BIOLOGIA MOLECULAR DO PARANA IBMP UNIVERSIDADE FEDERAL DO PARANA - UFPR</p> <p>Inventors KRIEGER MARCO AURÉLIO ZANCHIN NILSON IVO TONIN EUGÊNIO DANILO SANTOS</p> <p>Priority data including date 2018BR-0075339 2018-12-06</p>	<p>IPC - International classification A61K-039/20 C07K-014/19* C12N-001/21 C12N-015/40 C12N-015/62 C12N-015/63 G01N-033/569</p> <p>CPC - Cooperative classification A61K-039/20* C07K-014/19 C12N-015/62 C12N-015/63 G01N-033/569</p>
---	--

Family
[WO2020/113303](#) A1 2020-06-11     [BR102018075339](#) A1 2019-01-02    

(WO2020/113303)







A presente invenção refere-se a um método para diagnóstico de rubéola a partir de proteínas recombinantes. As proteínas recombinantes desenvolvidas podem ser utilizadas isoladamente ou em conjunto, apresentam alta pureza e capacidade de discriminação do vírus da rubéola. A invenção também permite o desenvolvimento de uma vacina de segunda geração, da classe de subunidade. A invenção se refere, de forma geral, a proteína recombinante, sequência de DNA sintético, vetor de expressão, célula hospedeira, composição, kit para diagnóstico de rubéola, uso de pelo menos uma proteína recombinante, e, métodos para produzir uma proteína recombinante e para diagnóstico de rubéola.



cerveja com substituição parcial do malte por resíduo da industrialização da fécula de mandioca (bagaço de mandioca)

BR102017026492 A2

<p><u>Current assignees</u> INSTITUTO FEDERAL DO PARANA*</p> <p><u>Inventors</u> CARLOS EDUARDO BARÃO JOSÉ VITOR DE CARVALHO SILVA LAISA LETÍCIA MACHADO DOS SANTOS ROSEMEIRE CARVALHO DA SILVA SUELLEN JENSEN KLOSOSKI TATIANA COLOMBO PIMENTEL</p> <p><u>Priority data including date</u> 2017BR-0026492 2017-12-08</p>	<p><u>IPC - International classification</u> C12C-007/053* C12C-012/00</p> <p><u>CPC - Cooperative classification</u> C12C-007/053* C12C-012/00</p>
---	---







<u>Family</u>	
BR102017026492 A2 2019-06-25   	BR102017026492 A1 2019-04-09   

(BR102017026492)

produção de resíduos agroindustriais afeta consideravelmente o meio ambiente quando os mesmos não são descartados de maneira adequada. desse modo, há o interesse na utilização dos mesmos como matéria-prima na elaboração de novos produtos. nesse contexto, o resíduo gerado na extração de fécula apresenta poucos destinos, podendo ser utilizado na fabricação de bebidas fermentadas como fonte de carboidratos. no entanto, o carboidrato presente é o amido que não é utilizado pelas leveduras se não for hidrolisado anteriormente. assim, uma forma de promover a hidrólise é a utilização de matérias-primas ricas em enzimas amilolíticas. considerando o exposto e o crescente mercado de cervejas gourmet, a utilização desse resíduo na fabricação de cerveja pode ser uma alternativa, visto que o malte apresenta grande quantidade de enzimas na sua composição. a fabricação de cerveja com o emprego deste produto permite uma inovação à indústria cervejeira e reduz o custo de fabricação das cervejas, além de beneficiar o meio ambiente dando um novo destino a esse resíduo. assim, o produto apresentado trata-se de uma cerveja produzida com substituição parcial do malte por bagaço de mandioca com características físico-químicas e tecnológicas semelhantes a cerveja puro malte e que apresenta boa aceitação e intenção de compra por consumidores potenciais. a substituição do malte por bagaço de mandioca se deu a um nível de até 75% e o resíduo pode ser empregado tanto úmido (da forma como sai das fecularias) quanto na forma desidratada.

sistema visualizador de veias para dispositivos móveis
BR102017026024 A2

<p><u>Current assignees</u> INSTITUTO FEDERAL DO PARANA*</p> <p><u>Inventors</u> AUGUSTO LUENGO PEREIRA NUNES GABRIELLE JACKLIN ELER KAO YU CHUN ROSANA CLAUDIA DE ASSUNÇÃO VINICIUS GAMBI SALES</p> <p><u>Priority data including date</u> 2017BR-0026024 2017-12-03</p>	<p><u>IPC - International classification</u> A61B-005/00*</p> <p><u>CPC - Cooperative classification</u> A61B-005/00/59 A61B-005/444* A61B-005/489</p>
--	--

<u>Family</u>					
BR102017026024	A2	2019-06-25	  	BR102017026024	A1 2018-07-24   







(BR102017026024)

sistema visualizador de veias para dispositivos móveis. a prática da punção venosa periférica requer habilidades específicas relacionadas a limitações características das estruturas que formam a pele humana, como o calibre de veias, camadas de gordura e condições clínicas do paciente. embora o mercado de dispositivos de imagens médicas forneça visualizadores de veias baseados em fotografia do espectro de luz infravermelho, caracterizado por uma penetração maior em estruturas orgânicas, o custo elevado de tal aparelho é um impeditivo para a disseminação desta tecnologia. o invento apresentado neste documento é um sistema visualizador de veias definido por um dispositivo de amostragem especificamente desenvolvido para obter imagens de veias a partir de sua interação com comprimentos de onda infravermelhos curtos. tal dispositivo caracteriza-se por ser integrável a dispositivos móveis convencionais, através de conexão via cabo e um aplicativo auxiliar que processa e apresenta imagens de veias subcutâneas na tela do smartphone ou tablet, em tempo real. o sistema de iluminação do dispositivo de amostragem provê dois comprimentos de onda, 760nm e 850nm, ativados alternadamente por chave seletora e atenuados por um potenciômetro. a fixação do dispositivo de amostragem ao corpo do dispositivo móvel convencional é realizada através de uma base regulável, que pode ser inclinada para prover amostragem perpendicular à tela do dispositivo móvel, além de conectada a uma haste flexível para suporte do sistema completo, liberando as mãos do usuário.

um método de monitoramento para ativação de comunicação dispositivo-para-dispositivo (d2d) sem pareamento na ocorrência de falha ou inoperância na rede de comunicação

BR102017021647 A2

<p><u>Current assignees</u> INSTITUTO FEDERAL DO PARANA*</p> <p><u>Inventors</u> CHARLES TIM BATISTA GARROCHO JOSÉ EDUARDO DE SOUZA JOSÉ PIRES BARBATO ROCHA</p> <p><u>Priority data including date</u> 2017BR-0021647 2017-10-09</p>	<p><u>IPC - International classification</u> H04W-008/00* H04W-088/04</p>
--	--







<u>Family</u>							
BR102017021647	A2	2019-04-24	  	BR102017021647	A1	2018-05-02	  

(BR102017021647)

um método de monitoramento para ativação de comunicação dispositivo-para-dispositivo (d2d) sem pareamento na ocorrência de falha ou inoperância na rede de comunicação. a presente invenção refere-se a um método de monitoramento para ativação de comunicação d2d em uma eventual falha ou inoperância da rede de comunicação de acesso a internet, visando sua aplicação em descarregamento de tráfego celular e comunicações em situações de emergência, destinada principalmente de modelo para o desenvolvimento de aplicações d2d que necessitem da troca de conteúdos entre dispositivos móveis em eventual falha ou inoperância da internet ou que não haja a interação do usuário com os dispositivos. mais particularmente, a presente invenção refere-se a um método de monitoramento para ativação de comunicação d2d, caracterizado por utilizar a rede local wifi para comunicação entre os dispositivos móveis em eventual falha ou inoperância da internet, e caso não haja rede local wifi, utilizar o modo de tethering de dispositivos móveis, permitindo que dispositivos móveis tornem-se pontos de acesso ieee 802.11 wlan e oferecer rede para outros dispositivos, de forma automatizada, efetuando transições entre o modo tethering e o modo de pesquisa de redes, com o objetivo de formar a rede de comunicação d2d e promover a troca de conteúdos sem a necessidade de pareamento entre os dispositivos ou autorização do usuário com o dispositivo.

sistema de monitoramento e alarme para passagens de entrada e saída
BR102017015488 A2

<p><u>Current assignees</u> INSTITUTO FEDERAL DO PARANA*</p> <p><u>Inventors</u> MARCOS DINÍS LAVARDA</p> <p><u>Priority data including date</u> 2017BR-0015488 2017-07-19</p>	<p><u>IPC - International classification</u></p> <table border="0"> <tr> <td>G08B-003/00*</td> <td>G08B-005/00</td> <td>G08B-007/00</td> </tr> <tr> <td>G08B-007/06</td> <td>G08B-013/00</td> <td>G08B-013/08</td> </tr> <tr> <td>G08B-013/16</td> <td>G08B-013/183</td> <td>G08B-013/184</td> </tr> <tr> <td>G08B-013/191</td> <td>G08B-013/22</td> <td>G08B-013/26</td> </tr> <tr> <td>G08B-019/00</td> <td>G08B-025/00</td> <td></td> </tr> </table> <p><u>CPC - Cooperative classification</u></p> <table border="0"> <tr> <td>G08B-003/00</td> <td>G08B-005/00</td> <td>G08B-007/00</td> </tr> <tr> <td>G08B-007/06</td> <td>G08B-013/00</td> <td>G08B-013/08</td> </tr> <tr> <td>G08B-013/16/18</td> <td>G08B-013/183</td> <td>G08B-013/184</td> </tr> <tr> <td>G08B-013/191</td> <td>G08B-013/22</td> <td>G08B-013/26</td> </tr> <tr> <td>G08B-019/00*</td> <td>G08B-025/00/2</td> <td></td> </tr> </table>	G08B-003/00*	G08B-005/00	G08B-007/00	G08B-007/06	G08B-013/00	G08B-013/08	G08B-013/16	G08B-013/183	G08B-013/184	G08B-013/191	G08B-013/22	G08B-013/26	G08B-019/00	G08B-025/00		G08B-003/00	G08B-005/00	G08B-007/00	G08B-007/06	G08B-013/00	G08B-013/08	G08B-013/16/18	G08B-013/183	G08B-013/184	G08B-013/191	G08B-013/22	G08B-013/26	G08B-019/00*	G08B-025/00/2	
G08B-003/00*	G08B-005/00	G08B-007/00																													
G08B-007/06	G08B-013/00	G08B-013/08																													
G08B-013/16	G08B-013/183	G08B-013/184																													
G08B-013/191	G08B-013/22	G08B-013/26																													
G08B-019/00	G08B-025/00																														
G08B-003/00	G08B-005/00	G08B-007/00																													
G08B-007/06	G08B-013/00	G08B-013/08																													
G08B-013/16/18	G08B-013/183	G08B-013/184																													
G08B-013/191	G08B-013/22	G08B-013/26																													
G08B-019/00*	G08B-025/00/2																														

<u>Family</u>					
BR102017015488	A2	2019-03-26	  	BR102017015488	A1 2018-01-23   

(BR102017015488)

“sistema de monitoramento e alarme para passagens de entrada e saída”. a presente invenção consiste-se em um sistema de monitoramento e alarme para passagens via portão (1) de entrada e saída de objetos, pessoas e veículos. o monitoramento é iniciado e finalizado automaticamente por um ou mais sensores (3) e as passagens analisadas por um ou mais sensores (2). a central de alarme (4) pode ser configurada diretamente ou remotamente quanto ao número de passagens permitidas e tempos de abertura. o disparo sonoro e/ou visual (5) ocorre quando o portão (1) permanecer por tempo excessivo aberto sem nenhuma passagem, ocorrer obstrução da mesma ou haver mais passagens do que o máximo configurado. quando a central de alarme (4) for disparada, poderá se comunicar com um ou mais sistemas externos (7), tais como alarmes e outros sistemas, e enviar alerta via central telefônica (6). por fim, o sistema poderá fechar automaticamente o portão (1) ou evitar o esmagamento devido a obstrução da passagem.

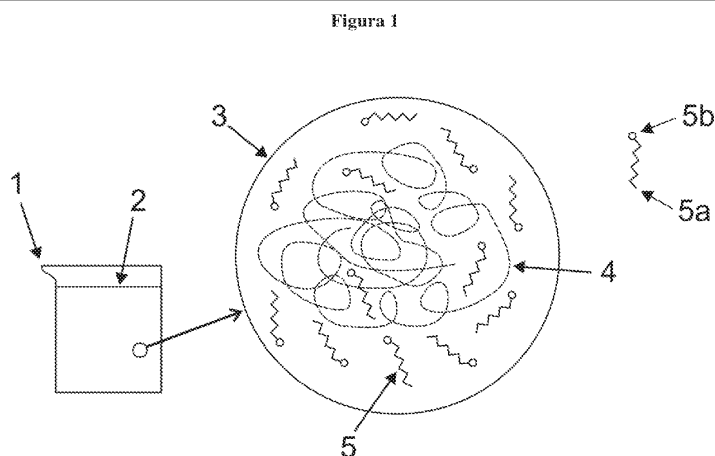
método de ativação da superfície de materiais poliméricos BR102016025448 A2

<p>Current assignees</p> <p>FUNDACAO OSWALDO CRUZ FIOCRUZ FUNDACAO OSWALDO CRUZ FIOCRUZ BR RJ INSTITUTO DE BIOLOGIA MOLECULAR DO PARANA IBPM BR PR UNIVERSIDADE FEDERAL DO PARANA UFPR BR PR INSTITUTE DE BIOLOGIA MOLECULAR DO PARANA IBMP INSTITUTE DE BIOLOGIA MOLECULAR DO PARANA IBPM UNIVERSIDADE FEDERAL DO PARANA - UFPR</p> <p>Inventors</p> <p>ANDRÉ SIONEK CYRO KETZER SAUL LEONARDO FOTI LUIZ EDUARDO NISHINO GOMES DO AMARAL MARCO AURÉLIO KRIEGER</p> <p>Priority data including date</p> <p>2016BR-0025448 2016-10-31 2016BR-0254485 2016-10-31 2017WO-BR50326 2017-10-27</p>	<p>IPC - International classification</p> <table border="0"> <tr> <td>C08J-003/07*</td> <td>C08J-003/12</td> <td>C08J-005/18</td> </tr> <tr> <td>C08J-007/00</td> <td>C08J-007/04*</td> <td>C08J-007/12</td> </tr> <tr> <td>C08K-003/08</td> <td>C08K-005/00</td> <td>D01F-001/10</td> </tr> </table> <p>CPC - Cooperative classification</p> <table border="0"> <tr> <td>C08J-003/07</td> <td>C08J-003/12</td> <td>C08J-003/12/8</td> </tr> <tr> <td>C08J-005/18</td> <td>C08J-007/00</td> <td>C08J-007/04*</td> </tr> <tr> <td>C08J-007/12</td> <td>C08J-2325/06</td> <td>C08K-003/08</td> </tr> <tr> <td>C08K-003/22</td> <td>C08K-005/00/08*</td> <td>C08K-005/00/5</td> </tr> <tr> <td>C08K-005/09</td> <td>C08K-2003/0856</td> <td>C08K-2003/2265</td> </tr> <tr> <td>C08K-2201/01</td> <td>C08K-2201/011</td> <td>C08L-029/04</td> </tr> <tr> <td>C09D-125/06</td> <td>D01D-001/02*</td> <td>D01F-001/10</td> </tr> </table>	C08J-003/07*	C08J-003/12	C08J-005/18	C08J-007/00	C08J-007/04*	C08J-007/12	C08K-003/08	C08K-005/00	D01F-001/10	C08J-003/07	C08J-003/12	C08J-003/12/8	C08J-005/18	C08J-007/00	C08J-007/04*	C08J-007/12	C08J-2325/06	C08K-003/08	C08K-003/22	C08K-005/00/08*	C08K-005/00/5	C08K-005/09	C08K-2003/0856	C08K-2003/2265	C08K-2201/01	C08K-2201/011	C08L-029/04	C09D-125/06	D01D-001/02*	D01F-001/10
C08J-003/07*	C08J-003/12	C08J-005/18																													
C08J-007/00	C08J-007/04*	C08J-007/12																													
C08K-003/08	C08K-005/00	D01F-001/10																													
C08J-003/07	C08J-003/12	C08J-003/12/8																													
C08J-005/18	C08J-007/00	C08J-007/04*																													
C08J-007/12	C08J-2325/06	C08K-003/08																													
C08K-003/22	C08K-005/00/08*	C08K-005/00/5																													
C08K-005/09	C08K-2003/0856	C08K-2003/2265																													
C08K-2201/01	C08K-2201/011	C08L-029/04																													
C09D-125/06	D01D-001/02*	D01F-001/10																													

Family	
<p>US20200239645 A1 2020-07-30</p> <p>EP3533822 A4 2020-07-08</p> <p>EP3533822 A1 2019-09-04</p>	<p>BR102016025448 A2 2018-05-29</p> <p>WO2018/076092 A1 2018-05-03</p> <p>BR102016025448 A1 2016-12-20</p>

(BR102016025448)



























































































































a presente invenção descreve um método para ativar quimicamente e/ou biologicamente a superfície de materiais poliméricos originalmente inertes. a ativação da superfície polimérica ocorre exclusivamente por meio da incorporação física de pelo menos um composto linear de cadeia longa contendo pelo menos uma terminação reativa por parte do polímero inerte, na presença de pelo menos um solvente.



nanopartícula polimérica de finasterida, suspensão aquosa contendo a mesma, composição para tratamento de alopecia, processo de preparação de dita composição, e seu uso

BR102012022034 B1

<p>Current assignees BIOLAB SANUS FARMACEUTICA INSTITUTO DE BIOLOGIA MOLECULAR DO PARANÁ IBPM UNIVERSALADE FEDERAL DO RIO GRANDE DO SUL UFRGS UNIVERSIDADE FEDERAL DO RIO GRANDE DO SUL - UFRGS UNIVERSITY FEDERAL DO RIO GRANDE SO SUL UFRGS UNIVERSITY OF SOUTH RIO GRANDE UFRGS</p> <p>Inventors ADRIANA RAFFIN POHLMANN DENISE SOLEDADE JORNADA SILVIA STANISÇUASKI GUTERRES</p> <p>Priority data including date 2012BR-0022034 2012-08-31 2013WO-BR00334 2013-08-30</p>	<p>IPC - International classification</p> <table border="0"> <tr><td>A61K-008/02</td><td>A61K-008/04</td><td>A61K-008/06</td></tr> <tr><td>A61K-008/35</td><td>A61K-008/37</td><td>A61K-008/49</td></tr> <tr><td>A61K-008/63</td><td>A61K-008/85</td><td>A61K-009/00</td></tr> <tr><td>A61K-009/06</td><td>A61K-009/08</td><td>A61K-009/10</td></tr> <tr><td>A61K-009/127</td><td>A61K-009/14</td><td>A61K-009/51*</td></tr> <tr><td>A61K-031/56</td><td>A61K-031/58</td><td>A61K-047/10</td></tr> <tr><td>A61K-047/14</td><td>A61K-047/30</td><td>A61K-047/34</td></tr> <tr><td>A61P-017/14</td><td>A61Q-007/00</td><td>B82Y-005/00</td></tr> </table> <p>CPC - Cooperative classification</p> <table border="0"> <tr><td>A61K-008/02/41</td><td>A61K-008/04/4</td><td>A61K-008/06</td></tr> <tr><td>A61K-008/35</td><td>A61K-008/37</td><td>A61K-008/49/73</td></tr> <tr><td>A61K-008/63</td><td>A61K-008/85</td><td>A61K-009/00/14</td></tr> <tr><td>A61K-009/06</td><td>A61K-009/08</td><td>A61K-009/10</td></tr> <tr><td>A61K-009/51</td><td>A61K-009/51/23</td><td>A61K-009/51/3*</td></tr> <tr><td>A61K-009/51/53</td><td>A61K-031/58</td><td>A61K-2800/412</td></tr> <tr><td>A61K-2800/5922</td><td>A61K-2800/654</td><td>A61P-017/14</td></tr> <tr><td>A61Q-007/00</td><td>B82Y-005/00</td><td></td></tr> </table> <p>PCL - US patent classification PCLO: 514284000*</p>	A61K-008/02	A61K-008/04	A61K-008/06	A61K-008/35	A61K-008/37	A61K-008/49	A61K-008/63	A61K-008/85	A61K-009/00	A61K-009/06	A61K-009/08	A61K-009/10	A61K-009/127	A61K-009/14	A61K-009/51*	A61K-031/56	A61K-031/58	A61K-047/10	A61K-047/14	A61K-047/30	A61K-047/34	A61P-017/14	A61Q-007/00	B82Y-005/00	A61K-008/02/41	A61K-008/04/4	A61K-008/06	A61K-008/35	A61K-008/37	A61K-008/49/73	A61K-008/63	A61K-008/85	A61K-009/00/14	A61K-009/06	A61K-009/08	A61K-009/10	A61K-009/51	A61K-009/51/23	A61K-009/51/3*	A61K-009/51/53	A61K-031/58	A61K-2800/412	A61K-2800/5922	A61K-2800/654	A61P-017/14	A61Q-007/00	B82Y-005/00	
A61K-008/02	A61K-008/04	A61K-008/06																																															
A61K-008/35	A61K-008/37	A61K-008/49																																															
A61K-008/63	A61K-008/85	A61K-009/00																																															
A61K-009/06	A61K-009/08	A61K-009/10																																															
A61K-009/127	A61K-009/14	A61K-009/51*																																															
A61K-031/56	A61K-031/58	A61K-047/10																																															
A61K-047/14	A61K-047/30	A61K-047/34																																															
A61P-017/14	A61Q-007/00	B82Y-005/00																																															
A61K-008/02/41	A61K-008/04/4	A61K-008/06																																															
A61K-008/35	A61K-008/37	A61K-008/49/73																																															
A61K-008/63	A61K-008/85	A61K-009/00/14																																															
A61K-009/06	A61K-009/08	A61K-009/10																																															
A61K-009/51	A61K-009/51/23	A61K-009/51/3*																																															
A61K-009/51/53	A61K-031/58	A61K-2800/412																																															
A61K-2800/5922	A61K-2800/654	A61P-017/14																																															
A61Q-007/00	B82Y-005/00																																																

Family	
<p>KR10-2128478 B1 2020-07-01   </p> <p>BR102012022034 B1 2020-02-18    </p> <p>IN330939 B 2020-01-31    </p> <p>PE20191713 A1 2019-12-05    </p> <p>CN104768539 B 2019-03-05    </p> <p>ES2702577 T3 2019-03-04    </p> <p>TR201818992 T4 2019-01-21    </p> <p>DK2891487 T3 2019-01-14    </p> <p>EP2891487 B1 2018-11-28    </p> <p>MX357601 B 2018-07-16    </p> <p>UA116993 C2 2018-06-11    </p> <p>US9895302 B2 2018-02-20    </p> <p>JP6235018 B2 2017-11-22    </p> <p>AU2013308355 B2 2017-08-31    </p> <p>ZA201501254 B 2016-05-25    </p> <p>EP2891487 A4 2016-04-20    </p>	<p>MX2015002299 A 2016-02-10   </p> <p>CL2015000502 A1 2015-10-16    </p> <p>JP2015526483 A 2015-09-10    </p> <p>US20150238406 A1 2015-08-27    </p> <p>CN104768539 A 2015-07-08    </p> <p>EP2891487 A1 2015-07-08    </p> <p>IN1727DEN2015 A 2015-05-29    </p> <p>KR10-2015-0046332 A 2015-04-29    </p> <p>AR092402 A1 2015-04-22    </p> <p>AU2013308355 A1 2015-04-16    </p> <p>BR102012022034 A2 2014-08-19    </p> <p>UY35003 A 2014-03-31    </p> <p>CA2883996 A1 2014-03-06    </p> <p>WO2014/032151 A1 2014-03-06    </p> <p>BR102012022034 A1 2013-04-02    </p>

(BR102012022034)

nanopartícula polimérica de finasterida, suspensão aquosa contendo a mesma, composição para tratamento de alopecia, processo de preparação de dita composição, e seu uso a presente invenção objetiva proporcionar uma composição farmacêutica para o tratamento da alopecia, dita composição compreendendo nanopartículas poliméricas, preferencialmente nanocápsulas, contendo finasterida, aditivos e veículo farmacêuticamente aceitáveis, bem como uso das nanopartículas para preparar dita composição para o tratamento da alopecia. a invenção ainda inclui um processo de preparação de nanocápsulas de finasterida apropriadas para uma composição de veiculação tópica para o tratamento de alopecia.

FIGURE 1

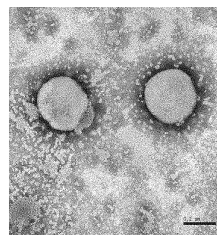
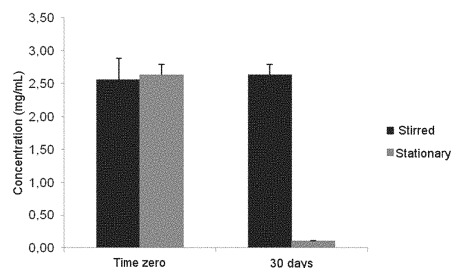


































































































































FIGURE 2



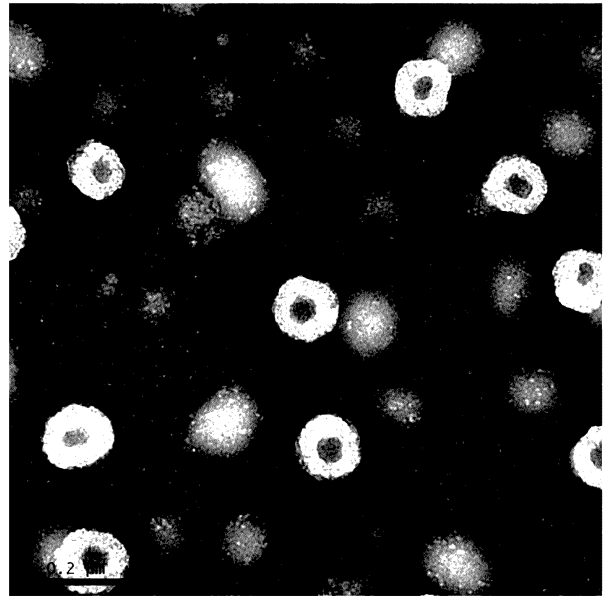
**nanopartícula polimérica de finasterida e minoxidil, processo de sua preparação,
suspensão aquosa contendo a mesma, composição farmacêutica, e seu uso
BR102012022036 B1**

<p><u>Current assignees</u> BIOLAB SANUS FARMACEUTICA INSTITUTO DE BIOLOGIA MOLECULAR DO PARANÁ IBPM UNIVERSALADE FEDERAL DO RIO GRANDE DO SUL UFRGS UNIVERSIDADE FEDERAL DO RIO GRANDE DO SUL - UFRGS UNIVERSITY FEDERAL DO RIO GRANDE SO SUL UFRGS UNIVERSITY OF SOUTH RIO GRANDE UFRGS</p> <p><u>Inventors</u> ADRIANA RAFFIN POHLMANN DENISE SOLEDADE JORNADA LUDMILA PINHEIRO DO NASCIMENTO SILVIA STANISÇUASKI GUTERRES</p> <p><u>Priority data including date</u> 2012BR-0022036 2012-08-31 2013WO-BR00335 2013-08-30</p>	<p><u>IPC - International classification</u></p> <table> <tr><td>A61K-009/00</td><td>A61K-009/06</td><td>A61K-009/08</td></tr> <tr><td>A61K-009/10*</td><td>A61K-009/127</td><td>A61K-009/14</td></tr> <tr><td>A61K-009/51*</td><td>A61K-009/58</td><td>A61K-031/435</td></tr> <tr><td>A61K-031/473</td><td>A61K-031/497</td><td>A61K-031/506</td></tr> <tr><td>A61K-031/58</td><td>A61K-047/14</td><td>A61K-047/26</td></tr> <tr><td>A61K-047/30</td><td>A61K-047/34</td><td>A61P-017/14</td></tr> <tr><td>B82Y-005/00</td><td></td><td></td></tr> </table> <p><u>CPC - Cooperative classification</u></p> <table> <tr><td>A61K-009/00/14</td><td>A61K-009/06</td><td>A61K-009/08</td></tr> <tr><td>A61K-009/10</td><td>A61K-009/14</td><td>A61K-009/51</td></tr> <tr><td>A61K-009/51/23</td><td>A61K-009/51/3*</td><td>A61K-031/473</td></tr> <tr><td>A61K-031/497</td><td>A61K-031/506</td><td>A61K-031/58</td></tr> <tr><td>A61K-047/14</td><td>A61K-047/34</td><td>A61P-017/14</td></tr> <tr><td>A61P-043/00</td><td>B82Y-005/00</td><td></td></tr> </table> <p><u>PCL - US patent classification</u> PCLO: 514275000*</p>	A61K-009/00	A61K-009/06	A61K-009/08	A61K-009/10*	A61K-009/127	A61K-009/14	A61K-009/51*	A61K-009/58	A61K-031/435	A61K-031/473	A61K-031/497	A61K-031/506	A61K-031/58	A61K-047/14	A61K-047/26	A61K-047/30	A61K-047/34	A61P-017/14	B82Y-005/00			A61K-009/00/14	A61K-009/06	A61K-009/08	A61K-009/10	A61K-009/14	A61K-009/51	A61K-009/51/23	A61K-009/51/3*	A61K-031/473	A61K-031/497	A61K-031/506	A61K-031/58	A61K-047/14	A61K-047/34	A61P-017/14	A61P-043/00	B82Y-005/00	
A61K-009/00	A61K-009/06	A61K-009/08																																						
A61K-009/10*	A61K-009/127	A61K-009/14																																						
A61K-009/51*	A61K-009/58	A61K-031/435																																						
A61K-031/473	A61K-031/497	A61K-031/506																																						
A61K-031/58	A61K-047/14	A61K-047/26																																						
A61K-047/30	A61K-047/34	A61P-017/14																																						
B82Y-005/00																																								
A61K-009/00/14	A61K-009/06	A61K-009/08																																						
A61K-009/10	A61K-009/14	A61K-009/51																																						
A61K-009/51/23	A61K-009/51/3*	A61K-031/473																																						
A61K-031/497	A61K-031/506	A61K-031/58																																						
A61K-047/14	A61K-047/34	A61P-017/14																																						
A61P-043/00	B82Y-005/00																																							

<u>Family</u>			
CA2883998	C	2020-08-25	   
IN339556	B	2020-06-26	   
KR10-2118582	B1	2020-06-04	   
PE20191714	A1	2019-12-05	   
BR102012022036	B1	2019-10-01	   
CN104755075	B	2019-07-26	   
MX363961	B	2019-04-09	   
ES2683418	T3	2018-09-26	   
TR201810389	T4	2018-08-27	   
DK2891486	T3	2018-07-23	   
JP6352265	B2	2018-07-04	   
EP2891486	B1	2018-05-16	   
AU2013308356	B2	2017-09-28	   
US9687554	B2	2017-06-27	   
UA113774	C2	2017-03-10	   
EP2891486	A4	2016-03-23	   
MX2015002300	A	2016-02-10	   
ZA201501255	B	2016-01-27	   
JP2015526484	A	2015-09-10	   
US20150216986	A1	2015-08-06	   
EP2891486	A1	2015-07-08	   
CL2015000501	A1	2015-07-03	   
CN104755075	A	2015-07-01	   
CO7310520	A2	2015-06-30	   
IN1728DEN2015	A	2015-05-29	   
KR20150044029	A	2015-04-23	   
AR092403	A1	2015-04-22	   
AU2013308356	A1	2015-04-16	   
BR102012022036	A2	2014-11-25	   
UY35002	A	2014-03-31	   
CA2883998	A1	2014-03-06	   
WO2014/032152	A1	2014-03-06	   

(BR102012022036)

nanopartícula polimérica de finasterida e minoxidil, processo de sua preparação, suspensão aquosa contendo a mesma, composição farmacêutica, e seu uso a presente invenção se refere a urna composição farmacêutica, de veiculação tópica, para o tratamento de alopecia, dita composição compreendendo nanopartícuas poliméricas, preferencialmente nanocapsoides, contendo dois princípios ativos, finasterida e minoxidil, aditivos e veículo farmacêuticamente aceitáveis. a invenção ainda inclui um processo de preparação das nanopartículas poliméricas, preferencialmente nanocapsoides de finasterida e minoxidil, apropriadas para uma composição de veiculação tópica para o tratamento de alopecia, bem como o uso de ditos nanocapsoides para preparação de uma composição farmacêutica.



Processo para produção de estruturas poliméricas com superfícies ativadas e estruturas poliméricas ativadas

BR201106844 A2

<p><u>Current assignees</u></p> <p>FEDERAL UNIVERSITY OF PARANA FEDERAL UNIVERSITY OF SOUTH HEZHOU FUNDAÇÃO OSWALDO CRUZ FIOCRUZ INSTITUTE DE BIOLOG MOLECULAR DO PARAN IBPM INSTITUTE DE BIOLOG MOLECULAR DO PARANA IBPM INSTITUTE DE BIOLOG MOLECULAR DO PARANA IBPM INSTITUTO DE BIOLOGIA MOLECULAR DO PARANA IBPM INSTITUTO DE BIOLOGIA MOLECULAR DO PARANÁ IBPM PARANA INSTITUTE OF MOLECULAR BIOLOGY UNIVERSIDADE FEDERAL DO PARANA - UFPR UNIVERSIDADE FEDERAL DO RIO GRANDE DO SUL - UFRGS</p> <p><u>Inventors</u></p> <p>SAUL CYRO KETZER STORI ELIS MOURA PETZHOLD CESAR LIBERATO SCHREINER WIDO H KRIEGER MARCO AURELIO FOTI LEONARDO SIONEK ANDRE POLI SOARES PAULA</p> <p><u>Priority data including date</u></p> <p>2011BR-0006844 2011-10-11 2012WO-BR00386 2012-10-10</p>	<p><u>IPC - International classification</u></p> <table style="width: 100%; border-collapse: collapse;"> <tr> <td style="width: 33%;">B05B-005/025</td> <td style="width: 33%;">B29B</td> <td style="width: 33%;">B29B-009/06</td> </tr> <tr> <td>B29B-009/12</td> <td>D01D</td> <td>D01D-001/02</td> </tr> <tr> <td>D01D-005/00</td> <td>D01D-005/11*</td> <td>D01D-007/00</td> </tr> <tr> <td>D01F-001/10</td> <td>D01F-006/16</td> <td>D01F-006/22</td> </tr> </table> <p><u>CPC - Cooperative classification</u></p> <table style="width: 100%; border-collapse: collapse;"> <tr> <td style="width: 33%;">B29B-009/06</td> <td style="width: 33%;">B29B-009/12</td> <td style="width: 33%;">D01D-005/00/3*</td> </tr> <tr> <td>D01D-005/00/46</td> <td>D01D-005/00/76</td> <td>D01F-001/10</td> </tr> <tr> <td>D01F-006/16</td> <td>D01F-006/22</td> <td></td> </tr> </table>	B05B-005/025	B29B	B29B-009/06	B29B-009/12	D01D	D01D-001/02	D01D-005/00	D01D-005/11*	D01D-007/00	D01F-001/10	D01F-006/16	D01F-006/22	B29B-009/06	B29B-009/12	D01D-005/00/3*	D01D-005/00/46	D01D-005/00/76	D01F-001/10	D01F-006/16	D01F-006/22	
B05B-005/025	B29B	B29B-009/06																				
B29B-009/12	D01D	D01D-001/02																				
D01D-005/00	D01D-005/11*	D01D-007/00																				
D01F-001/10	D01F-006/16	D01F-006/22																				
B29B-009/06	B29B-009/12	D01D-005/00/3*																				
D01D-005/00/46	D01D-005/00/76	D01F-001/10																				
D01F-006/16	D01F-006/22																					

<u>Family</u>			
CA2851708	C	2020-02-18	
KR101884775	B1	2018-08-02	
CN104053829	B	2017-07-11	
US9580838	B2	2017-02-28	
HK1202315	A1	2015-09-25	
EP2767623	A4	2015-07-08	
CN104053829	A	2014-09-17	
US20140246812	A1	2014-09-04	
EP2767623	A1	2014-08-20	
KR20140093226	A	2014-07-25	
BRPI1106844	A2	2014-04-22	
CA2851708	A1	2013-04-18	
WO2013/053030	A1	2013-04-18	
BRPI1106844	A1	2012-11-20	

(BRPI1106844)

PROCESSO PARA PRODUÇÃO DE ESTRUTURAS POLIMERICAS COM SUPERFÍCIES ATIVADAS E ETRUTURAS POLIMÉRICAS ATIVADAS A presente invenção refere-se a um processo de produção de estruturas poliméricas com superfícies ativadas . O processo demonstrou ser simples , rápido , com alta capacidade de produção e baixo custo operacional . O processo ocorre pela disposição de solução de polímeros, assistido por campo elétrico elevado , em superfície líquida condutora para produção de partículas e/ou filamentos com superfície ativada. Mais particularmente , o processo da presente invenção apresenta , em um único processo , a capacidade de produzir partículas e/ou filamentos com superfícies quimicamente ativadas.

